

# Sprawozdanie 13.

## Szacowanie całek przy użyciu kwadratur Gaussa

Mirosław Kołodziej

10.06.2021

### 1. Wstęp teoretyczny

#### 1.1 Kwadratury Gaussa

Rozpatrujemy kwadratury typu:

$$S(f) = \sum_{k=0}^N A_k f(x_k), \quad A_k = \int_a^b p(x) \Phi_k(x) dx$$

Ustalamy funkcję wagową  $p(x)$  oraz liczbę węzłów jako  $N + 1$ . Poszukujemy położenia węzłów i współczynników  $A_k$  w taki sposób, żeby rząd kwadratury był jak najwyższy. Do wyznaczenia takich kwadratur używa się wielomianów ortogonalnych. Ciąg wielomianów:

$$\{\varphi_n(x)\} = \{\varphi_0(x), \varphi_1(x), \dots, \varphi_N(x)\}$$

nazywamy ortogonalnymi na przedziale  $[a, b]$ , jeśli zachodzi pomiędzy nimi następujący związek:

$$(\varphi_r, \varphi_s) = \int_a^b p(x) \varphi_r(x) \varphi_s(x) dx = 0, \quad r \neq s.$$

Dla kwadratu Gaussa zachodzą trzy twierdzenia:

1. Wielomiany ortogonalne mają tylko pierwiastki rzeczywiste, które leżą w przedziale  $[a, b]$ .
2. Nie istnieje kwadratura Gaussa rzędu wyższego niż  $2(N + 1)$ , zaś kwadratura Gaussa jest rzędu  $2(N + 1)$  wtedy i tylko wtedy, gdy węzły  $x_k$  są pierwiastkami wielomianu  $P_{N+1}(x)$ .
3. Wszystkie współczynniki  $A_k$  w kwadraturach Gaussa są dodatnie.

#### 1.2 Kwadratura Gaussa-Legendre'a

Kwadratura Gaussa-Legendre'a ma postać:

$$\int_a^b f(x) dx \approx S(f) = \sum_{k=0}^N A_k f(x_k).$$

Występuje ona na przedziale  $[a, b]$  z funkcją wagową  $p(x) = 1$ .

#### 1.3 Kwadratura Gaussa-Laguerra

Kwadratura Gaussa-Laguerra ma postać:

$$\int_0^{\infty} e^{-x} f(x) dx \approx S(f) = \sum_{k=0}^N A_k f(x_k).$$

Występuje ona na przedziale  $[0, \infty]$  z funkcją wagową  $p(x) = e^{-x}$ .

#### 1.4 Kwadratura Gaussa-Hermite'a

Kwadratura Gaussa-Hermite'a ma postać:

$$\int_{-\infty}^{\infty} e^{-x^2} f(x) dx \approx S(f) = \sum_{k=0}^N A_k f(x_k).$$

Występuje ona na przedziale  $[-\infty, \infty]$  z funkcją wagową  $p(x) = e^{-x^2}$ .

## 2. Problem

Celem naszych zajęć było obliczenie numeryczne całki przez oszacowanie jej przy użyciu kwadratury:

$$C = \int_a^b p(x)f(x)dx = \sum_{i=1}^n A_i f(x_i),$$

gdzie  $A_i$  to współczynniki kwadratury, zaś  $x_i$  to położenia węzłów kwadratury. W powyższej całce poza funkcją podcałkową  $f(x)$  pod całką znajduje się również funkcja wagowa  $p(x)$ , której postać determinuje sposób wyznaczania węzłów i wartości współczynników kwadratury. My rozważaliśmy trzy typy kwadratur:

- kwadratura Gaussa-Legendre'a, dla której korzystaliśmy z funkcji:

```
void gauleg(float x1, float x2, float x[], float w[], int n)
```

- kwadratura Gaussa-Laguerre'a:

```
void gaulag(float x[], float w[], int n, float alf)
```

- kwadratura Gaussa-Hermite'a:

```
void gauher(float x[], float w[], int n)
```

W powyższych funkcjach obowiązują następujące oznaczenia:  $x_1$  to lewy kraniec przedziału całkowania,  $x_2$  to prawy kraniec przedziału całkowania,  $n$  to liczba węzłów,  $x[]$  to tablica z położeniami węzłów kwadratury,  $w[]$  to tablica z wartościami współczynników kwadratury, zaś  $alf = 0$  to parametr określający typ wielomianów Laguerre'a (dla  $alf = 0$  zwykłe).

Do wykonania mieliśmy trzy zadania. Pierwszym z nich było wyznaczenie wartości całki niewłaściwej ( $\lim_{x \rightarrow 0} f(x) = \infty$ ) kwadraturą Gaussa-Legendre'a:

$$C_1 = \int_0^a \ln(x) dx = a \ln(a) - a,$$

dla  $a = 10$  oraz liczby węzłów  $n = 5, 6, 7, \dots, 70$ . Wynik przedstawiliśmy w postaci wykresu modułu różnicy wartości dokładnej i numerycznej  $|C_{dok} - C_{num}|$ .

Kolejnym zadaniem było wyznaczenie wartości całki:

$$C_2 = \int_0^{\infty} (x-10)^2 \sin(4x) e^{-x} dx = 22.95461022,$$

przy użyciu kwadratury Gaussa-Laguerre'a, dla:  $x \in [0, \infty)$ ,  $f(x) = (x-10)^2 \sin(4x)$  i  $p(x) = e^{-x}$ , oraz przy użyciu kwadratury Gaussa-Legendre'a dla:  $x \in [0, 10]$  (zmiana górnej granicy całkowania),  $f(x) = (x-10)^2 \sin(4x) e^{-x}$  i  $p(x) = 1$ . Obliczenia wykonaliśmy dla liczby węzłów  $n = 5, 6, 7, \dots, 70$ , zaś wyniki przedstawiliśmy w postaci wykresów modułów różnicy wartości dokładnej i numerycznej  $|C_{dok} - C_{num}|$ .

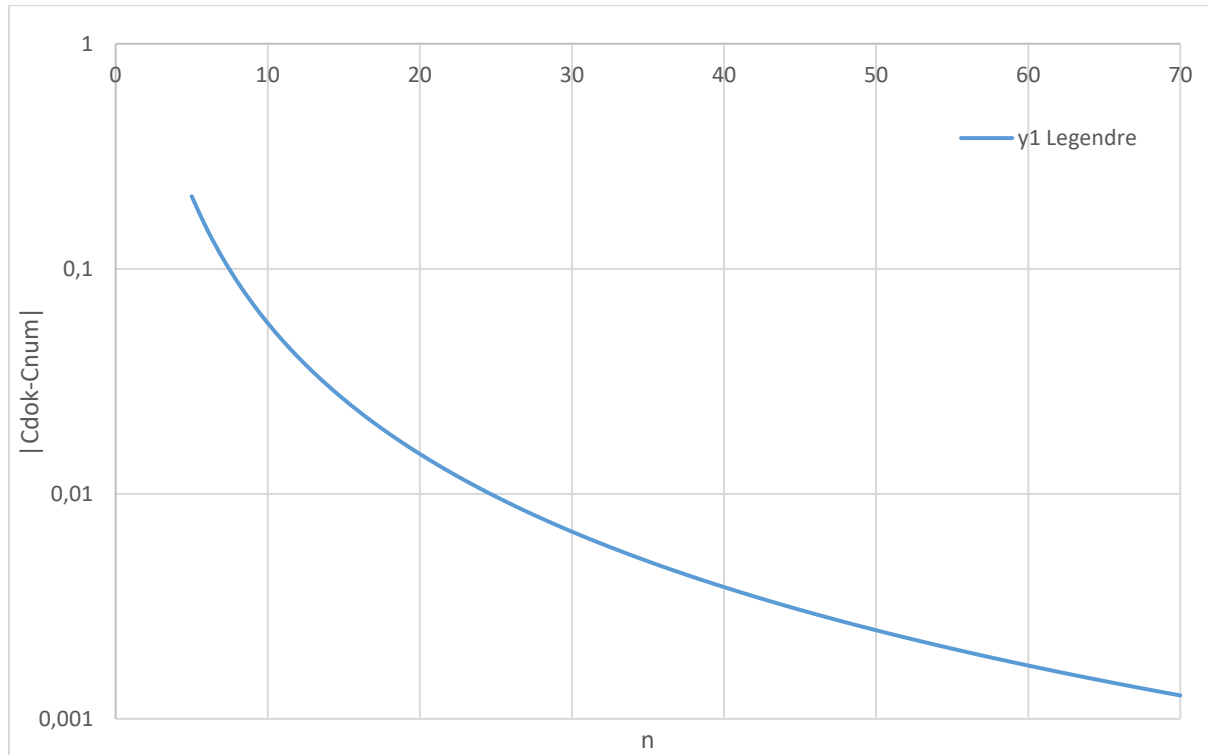
Ostatnim zadaniem było wyznaczenie wartości całki:

$$C_3 = \int_{-\infty}^{\infty} x^7 \cdot 2^{(-x^2+x+4)} \cdot e^{-x^2} dx = 14.83995751,$$

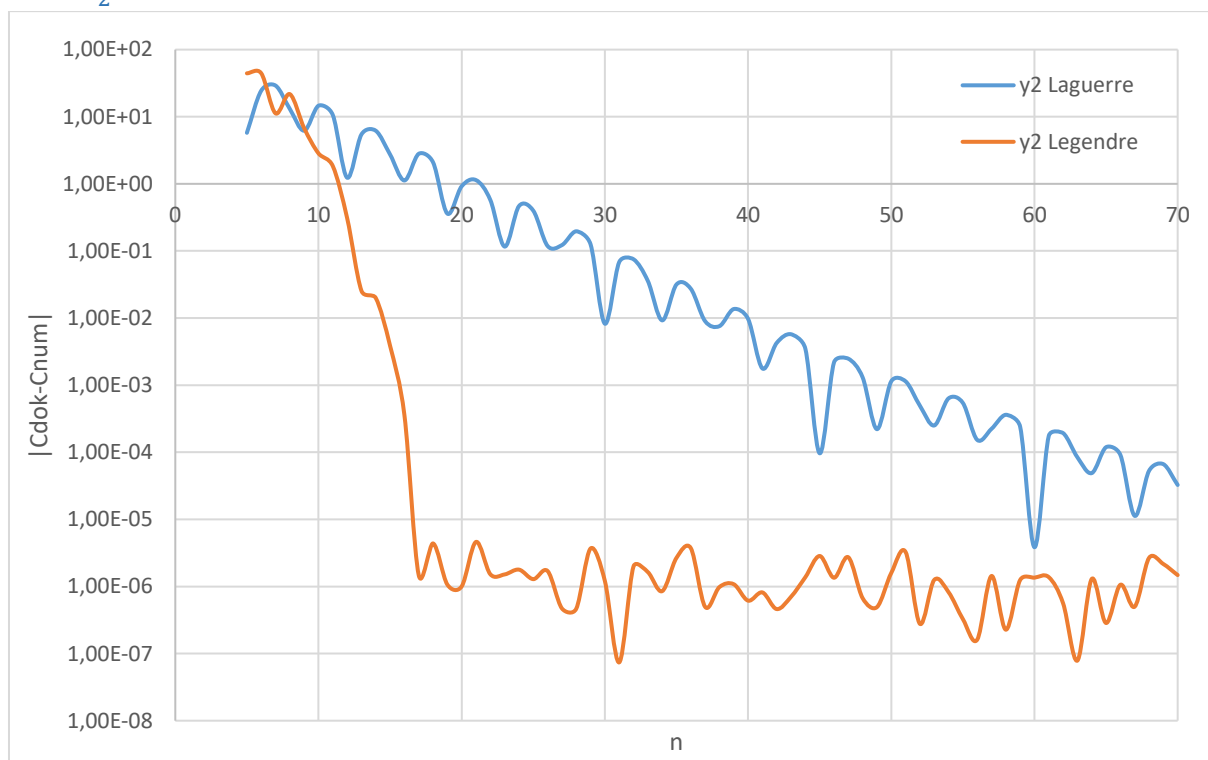
przy użyciu kwadratury Gaussa-Hermite'a, dla:  $x \in [0, \infty)$ ,  $f(x) = x^7 \cdot 2^{(-x^2+x+4)}$  i  $p(x) = e^{-x^2}$ , oraz przy użyciu kwadratury Gaussa-Legendre'a dla:  $x \in [-10, 15]$ ,  $f(x) = x^7 \cdot 2^{(-x^2+x+4)} \cdot e^{-x^2}$  i  $p(x) = 1$ . Obliczenia wykonaliśmy dla liczby węzłów  $n = 5, 6, 7, \dots, 70$ , zaś wyniki przedstawiliśmy w postaci wykresów modułów różnicy wartości dokładnej i numerycznej  $|C_{dok} - C_{num}|$ .

### 3. Wyniki

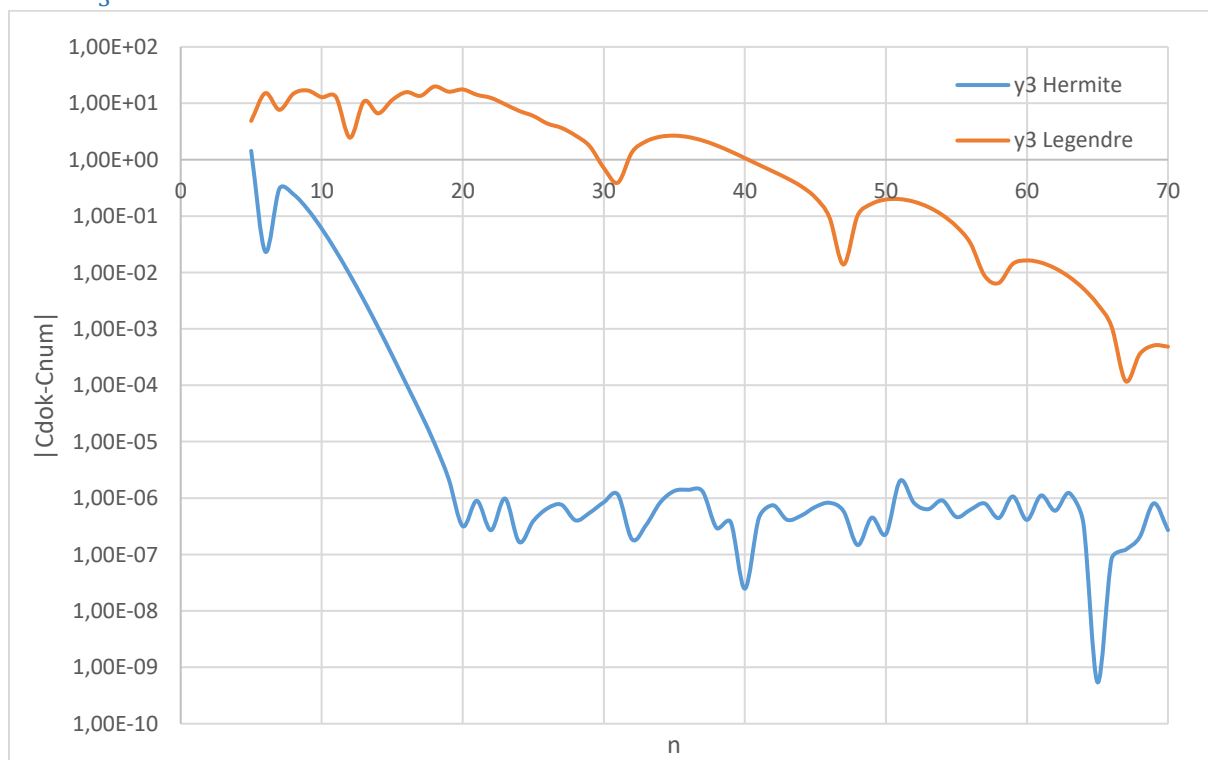
3.1 Wykres modułu różnicy wartości dokładnej i numerycznej  $|C_{dok} - C_{num}|$  dla całki  $C_1$



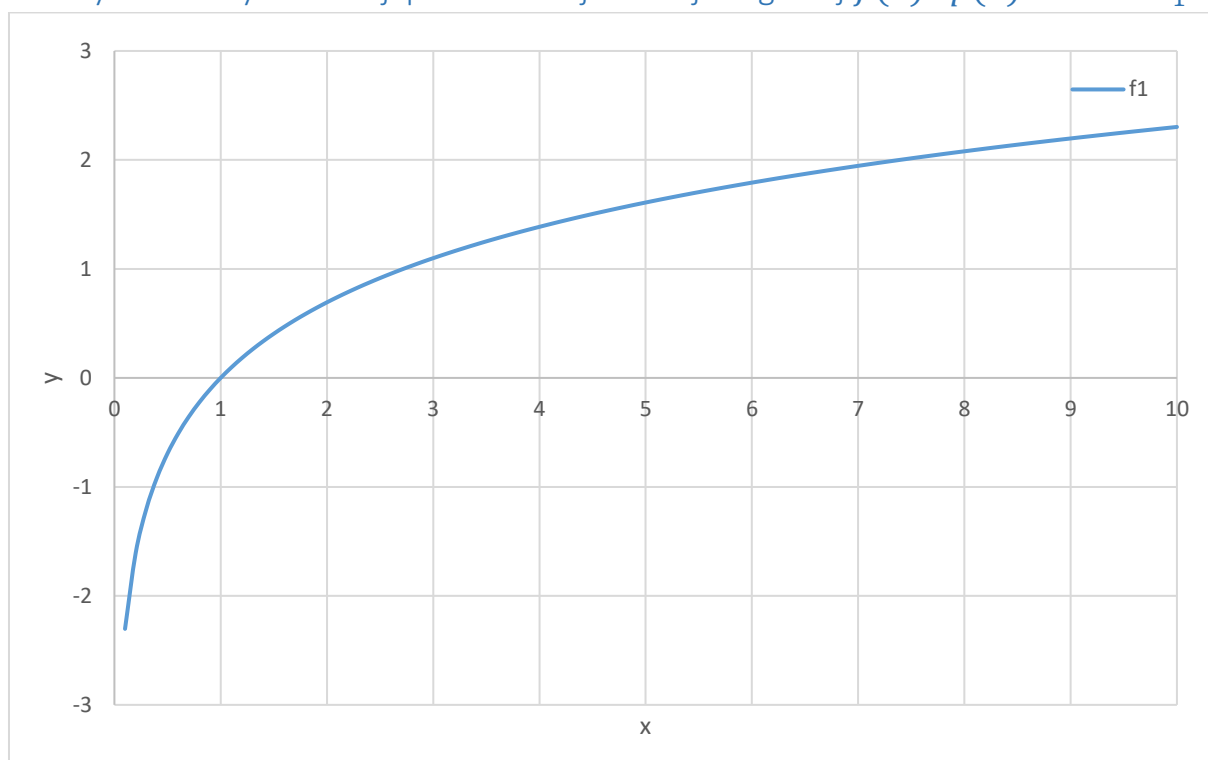
### 3.2 Wykres modułu różnicy wartości dokładnej i numerycznej $|C_{dok} - C_{num}|$ dla całki $C_2$



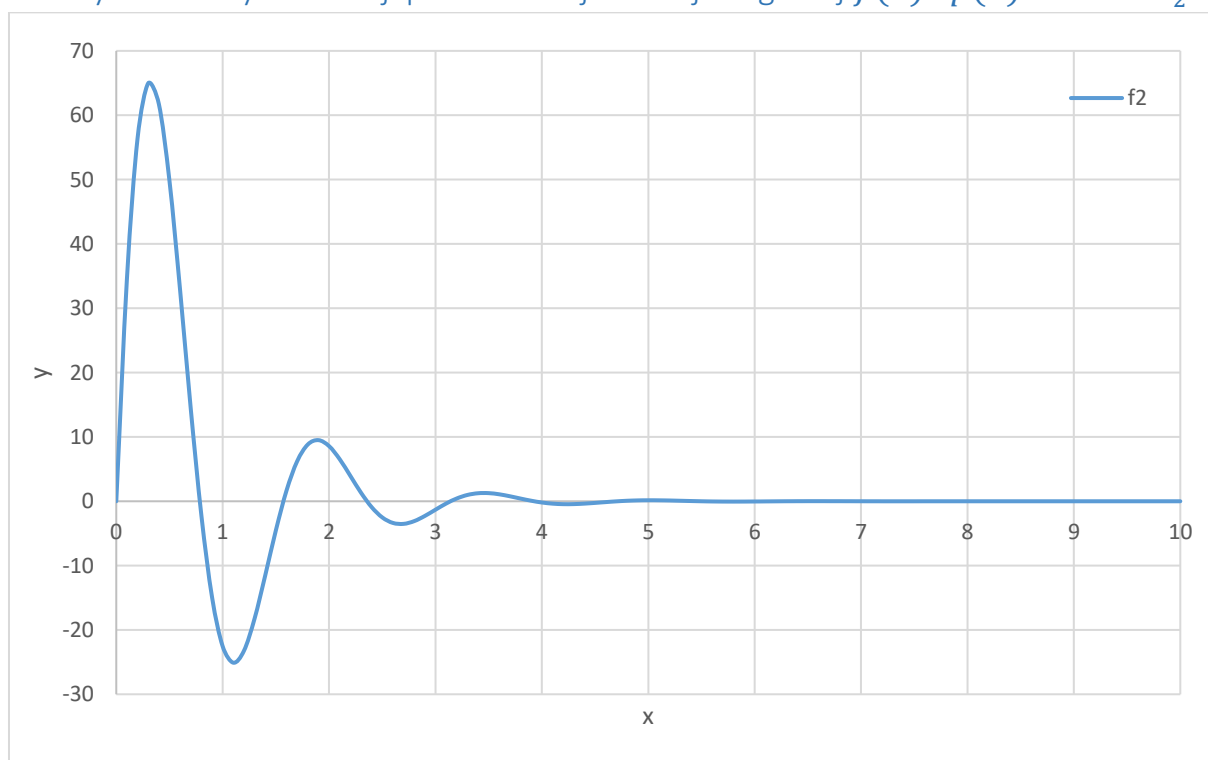
### 3.3 Wykres modułu różnicy wartości dokładnej i numerycznej $|C_{dok} - C_{num}|$ dla całki $C_3$



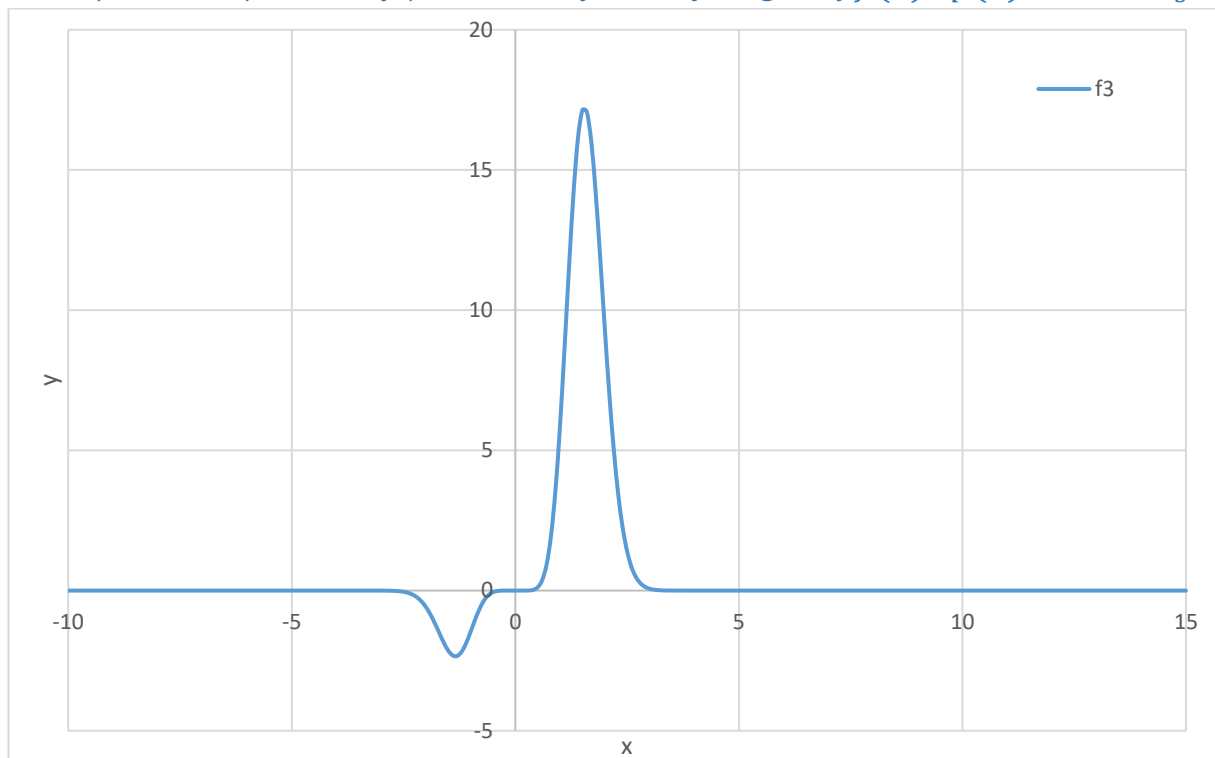
### 3.4 Wykres iloczynu funkcji podcałkowej i funkcji wagowej $f(x) \cdot p(x)$ dla całki $C_1$



### 3.5 Wykres iloczynu funkcji podcałkowej i funkcji wagowej $f(x) \cdot p(x)$ dla całki $C_2$



### 3.6 Wykres iloczynu funkcji podcałkowej i funkcji wagowej $f(x) \cdot p(x)$ dla całki $C_3$



## 4. Wnioski

Wyznaczyliśmy wartości całek  $C_1$ ,  $C_2$ ,  $C_3$  za pomocą kwadratur Gaussa. Możemy stwierdzić, że dokładność jest zależna od liczby węzłów – im większa jest ich ilość, tym bardziej dokładne są wykresy. Patrząc na wykresy 2 i 3, widzimy, że metoda Gaussa-Legendre'a osiąga szybciej dokładniejsze wyniki od metody Gaussa-Laguerre'a, zaś metoda Gaussa-Hermite'a jest szybsza w porównaniu z metodą Gaussa-Legendre'a.

W niektórych przypadkach możliwe jest zastąpienie kwadratur Laguerre'a i Hermite'a kwadraturą Legendre'a, ze względu na mniejszą oscylację w przypadku tej metody.